

# Baker's Yeast로부터 1,4-Benzoquinone Reductase의 분리

김경순·석희원

명지대학교 이과대학 화학과

## Isolation of 1,4-Benzoquinone Reductase from Baker's Yeast

Kim, Kyung-soon · Suk, Hee-won

*Department of Chemistry, Myong Ji University*

(Received Oct., 30, 1997)

### ABSTRACT

An intracellular, soluble 1,4-benzoquinone reductase was purified from Baker's Yeast by ammonium sulfate precipitation, DEAE-Sephadex anion exchange chromatography, and Sephadex S-200 gel filtration chromatography.

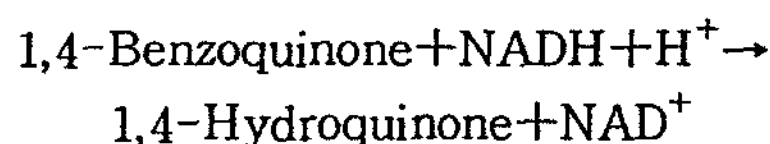
1,4-Benzoquinone reductase was achieved 123.8 fold purification from crude homogenate with a yield of 11.1%.

### I. 서 론

방향족 오염물질의 일종인 2,4-dinitrotoluene(I)은 polyurethane과 폭약의 제조에 대량으로 사용되며, 포유동물에서 돌연변이를 일으키고, 발암물질로 작용한다고 알려져 있다<sup>1)</sup>. 또한 2,7-dichlorodibenzo-p-dioxin(II)은 펄프 공장의 유출물과 연소과정에서 생성되는 재에서 발견되는 화합물로서 동물에서 급성독성을 나타내며<sup>2)</sup>, 제초제인 2,4-dichlorophenoxyacetic acid의 합성에 사용되는 2,4-dichlorophenol(III)은 생태계를 오염시키는 중요한 오염물질이다<sup>3)</sup>.

이들 다양한 방향족 오염물질은 곰팡이에 의한 분해과정에서 2-methoxy-1,4-benzoquinone(IV), 2-hydroxy-1,4-benzoquinone(V), 2,5-dihydroxy-1,4-benzoquinone(VI) 등의 quinone 중간체로 변환되며, 곰팡이에 의한 lignin의 분해과정에서도 치

환된 quinone이 생성된다는 것이 확인되었다<sup>4~6)</sup>. 방향족 오염물질과 lignin의 peroxidase 산화에 의해 생성되는 quinone들은 곰팡이에 의한 방향족 화합물 분해에서 중요한 중간체이며<sup>7,8)</sup>, 이들 quinone은 환원되어 hydroquinone을 생성한 후 ring cleavage된다<sup>9~11)</sup>. 이때 관여하는 1,4-benzoquinone reductase는 1,4-benzoquinone을 이 전자가 관여하는 환원반응으로 1,4-hydroquinone으로 변환시키는 효소이다<sup>12)</sup>.



최근에 1,4-benzoquinone reductase의 생체내에서의 기능에 관한 연구가 활발히 진행되고 있으며, Chung 등은 quinone reductase가 생체내에서 ethanol metabolism에 관여한다고 주장하였고<sup>13)</sup>, MacDonald는 quinone reductase의 inhibitor인 dicumarol이 glucose에 의해 유발되는 insulin 분비

를 방해한다고 하였다<sup>14)</sup>.

본 연구실에서는 오염물질의 무공해 제거기술 개발의 기초연구로서 Baker's Yeast로부터 1,4-benzoquinone reductase를 정제하였으며 그 결과를 보고하고자 한다.

## II. 실험

### 1. 시약 및 기기

Sephacryl S-200-HR, diethylaminoethyl-Sephacel(DEAE-Sephacel), molecular weight marker, ethylenediamine tetraacetic acid(EDTA), Coomassie Brilliant blue R-250, ammonium sulfate, tris[hydroxymethyl] aminomethane(Tris), lauryl sulfate(SDS), ammonium persulfate, bovine serum albumin, bromophenol blue, trichloro acetic acid(TCA), glycine, acrylamide, N,N'-methylene bisacrylamide, sucrose, N,N,N',N'-tetramethylethylenediamine(TEMED),  $\beta$ -NADH 등은 Sigma사 제품을 사용하였다. Coomassie Brilliant blue G-250은 Bio-rad사에서 구입하였고, 1,4-benzoquinone은 Aldrich사 제품을 사용하였으며, 기타 시약은 특급 내지 일급 시약을 사용하였다.

정제과정은 모두 cold lab chamber를 사용하여 4°C에서 수행하였으며, 효소의 활성은 Shimadzu UV 3100 UV/VIS spectrophotometer를 사용하여 측정하였고, Bio-rad Econo low pressure liquid chromatograph, fraction collector, high speed centrifuge, ultra low temperature freezer, microcentrifuge 등을 사용하여 효소를 정제하였다.

### 2. 실험방법

#### 1) 1,4-Benzoquinone reductase의 활성도 측정

25mM Tris-HCl 완충액(pH 8.0), 0.25mM 1,4-benzoquinone, 0.2mM NADH와 시료액을 혼합한 후, 340nm에서 NADH의 흡광도 감소를 이용하여 활성도를 측정하였다<sup>12)</sup>.

#### 2) 단백질 정량

단백질 정량은 bovine serum albumin(BSA)을 표준물질로 하여 Bradford 방법<sup>15)</sup>으로 정량하였다.

#### 3) 1,4-Benzoquinone reductase의 정제

#### (1) $(\text{NH}_4)_2\text{SO}_4$ 에 의한 분별침전

Baker's Yeast(Sigma type I) 30g에 1mM EDTA를 포함하는 100mM potassium phosphate 완충액(pH 7.5) 400mL를 가하여 4°C에서 균질화시키고 10,000g에서 15분간 원심분리하였다. 상층액에  $(\text{NH}_4)_2\text{SO}_4$ 를 40%가 포화되도록 서서히 가하면 서 자성막대로 천천히 저어 주었다. 20,000g에서 15분간 원심분리하여 침전물을 제거한 후, 상층액에 다시  $(\text{NH}_4)_2\text{SO}_4$ 로 80% 포화시켜 20,000g에서 15분간 원심분리하여 침전물을 얻었다. 이 침전물을 1mM EDTA를 포함하는 10mM Tris-HCl 완충액(pH 8.0)에 녹인 후 4°C에서 동일한 완충액으로 투석하고 불용성물질은 원심분리하여 제거하였다.

#### (2) Anion exchange chromatography on DEAE-sephacel

1mM EDTA를 포함하는 10mM Tris-HCl 완충액(pH 8.0)으로 평형화시킨 DEAE-Sephacel column에 위 과정에서 얻은 효소용액을 주입한 다음 같은 완충액으로 충분히 씻어준 후, 같은 완충액을 사용하여 0M에서 0.5M까지의 NaCl 상승 농도기울기로 흡착된 단백질을 용출시켰다. 효소 활성부분을 모아 농축하여 1mM EDTA를 포함하는 10mM Tris-HCl 완충액(pH 8.0)으로 투석한 후 불용성물질은 원심분리하여 제거하였다.

#### (3) Gel Filtration on Sephadryl S-200

1mM EDTA를 포함하는 10mM Tris-HCl 완충액(pH 8.0)으로 평형화된 Sephadryl S-200 column에 위의 음이온 교환 크로마토그래피를 사용하여 얻은 효소용액을 주입한 후 같은 완충용액으로 전개시켰으며 용출속도는 12mL/h로 하였고 효소활성이 있는 분획을 모아 농축하였다.

이상의 과정은 모두 0~4°C에서 수행하였다.

#### (4) Disc Polyacrylamide Gel Electrophoresis

정제된 1,4-benzoquinone reductase 용액을 Laemmli 등의 방법<sup>16)</sup>으로 disc polyacrylamide gel electrophoresis를 시행하였다. 10% glycerol, 0.0001% bromophenol blue, 2% SDS를 포함하는 0.0625M Tris-HCl buffer(pH 6.8)를 sample buffer로 사용하였으며, 정제된 1,4-benzoquinone reductase 용액 10 $\mu\text{L}$ 에 sample buffer 5 $\mu\text{L}$ 를 가하여 100°C 물증탕에서 1분간 가열한 후, 즉시 냉각하여

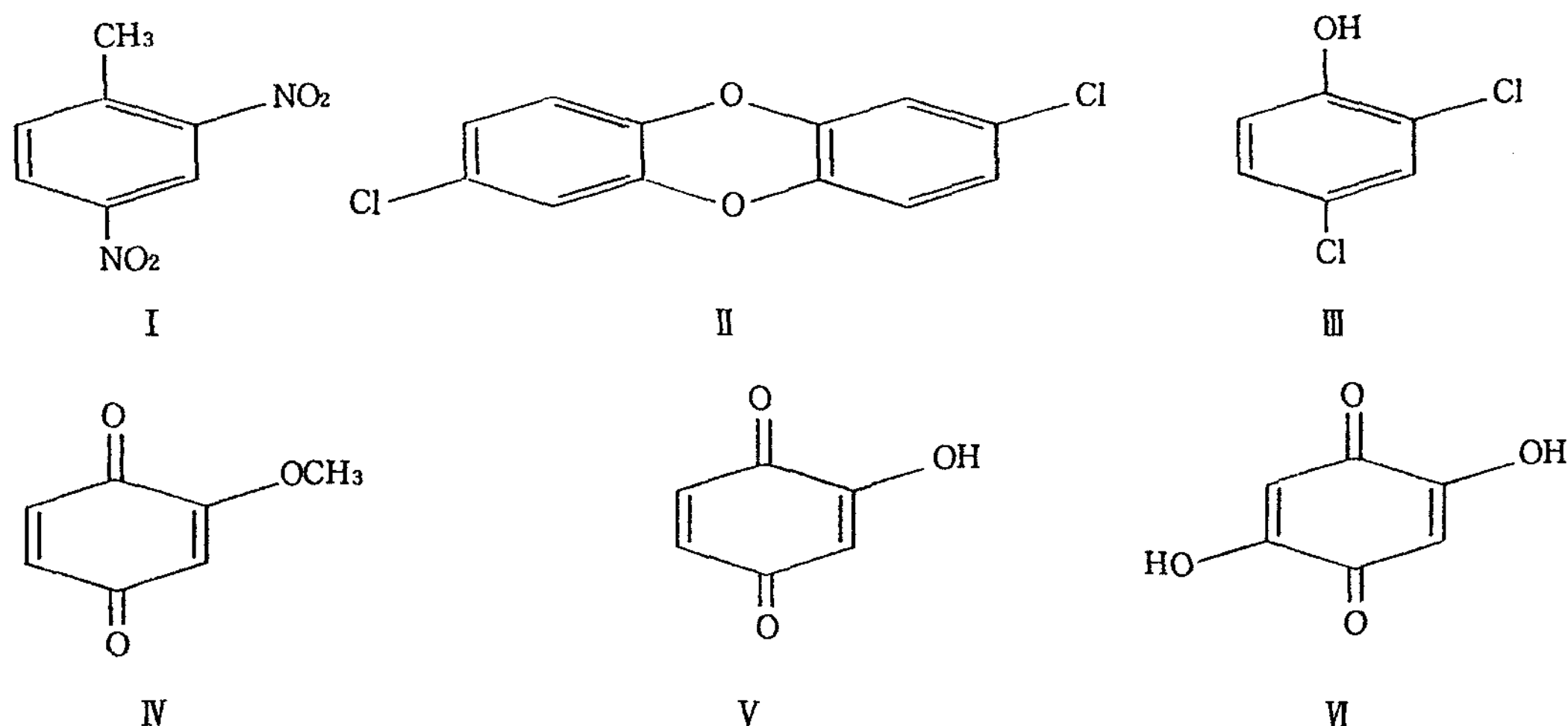


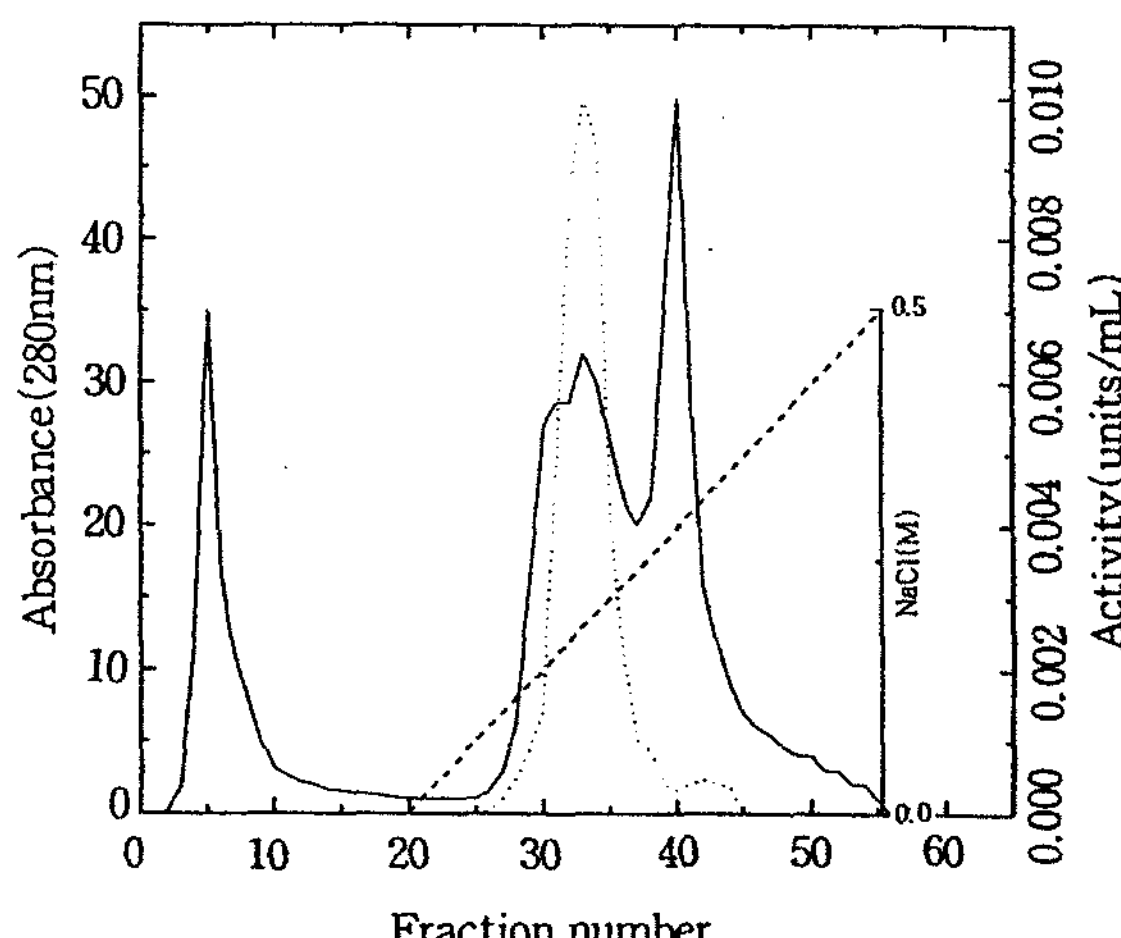
Fig. 1. Structural formulae of the quinones and aromatic pollutants.

gel에 주입하였다. 9% acrylamide running gel과 3% acrylamide stacking gel이 되도록 만든 slab gel에 정제된 1,4-benzoquinone reductase 용액을 주입하여 stacking할 때는 100V, 전개할 때는 200V의 직류 전압을 가해 약 2시간 동안 전개하였다. 이 때 lower buffer는 25mM Tris-HCl(pH 8.9)을 사용하였고, upper buffer는 25mM Tris-HCl(pH 8.3)이었다. 전개가 끝난 후 gel을 10% trichloroacetic acid(TCA)용액에 10분간 담가두어 단백질을 고정시킨 다음, Coomassie brilliant blue R-250으로 12시간 정도 염색시킨 후 탈색하여 gel에 나타난 띠를 관찰하였다.

## II. 결과 및 고찰

Baker's Yeast(Sigma type I)를 균질화한 후 10,000×g에서 15분 원심분리하여 얻은 용액의 1,4-benzoquinone reductase의 비활성은  $2.02 \times 10^{-4}$  units/mg protein이었다. 이 용액에  $(\text{NH}_4)_2\text{SO}_4$ 를 가하여 40% 포화되었을 때의 침전을 제거한 후 80% 포화되었을 때 침전되는 부분을 모아서 측정한 비활성은  $3.85 \times 10^{-4}$  units/mg protein으로서 약 1.9 배 정제되었다. 이렇게 하여 얻은 효소용액을 DE-AE-Sephacel column으로 이온교환 크로마토그래피한 결과 1,4-benzoquinone reductase가 ion exchanger에 결합되어 있음을 알 수 있었고, 단백

질을 용출시키기 위하여 0~0.5M NaCl을 포함하는 완충용액으로 농도기울기한 결과, 1,4-benzoquinone reductase는 약 0.18M NaCl에서 용출되었다 (Fig. 1). 이 과정에서 많은 양의 단백질이 제거되었다.



**Fig. 2.** DEAE-Sephadex anion exchange chromatography from the protein fraction precipitated between 40% and 80% saturation with ammonium sulfate.

Protein peak (—) was monitored with absorbance at 280nm and 1,4-benzoquinone reductase activity (----) was measured as described in the experimental section. The solid represents salt (NaCl) gradient concentration.

Table 1. Purification of the 1,4-Benzoquinone reductase from Baker's yeast

Purification step	Total protein (mg)	Total activity (U) <sup>a</sup>	Specific activity (U/mg × 10 <sup>-4</sup> )	Purification (fold)	Yield (%)
Crude extract	3563	0.7200	2.02	1	100
(NH <sub>4</sub> ) <sub>2</sub> SO <sub>4</sub> fractionation (40~80%)	832.4	0.3204	3.85	1.9	44.5
DEAE-Sephacel chromatography	34.86	0.1712	49.1	24.3	23.8
Sephacryl S-200 chromatography	3.195	0.0799	250	123.8	11.1

<sup>a</sup> 1U=1μmol of NADH oxidized min<sup>-1</sup>mL<sup>-1</sup>

고 비활성은  $4.91 \times 10^{-3}$  units/mg protein이었으며 약 12.8배 정도 더 정제되었다. 활성부분을 모아 Sephacryl S-200 겔 크로마토그래피로 정제한 1,4-benzoquinone reductase의 비활성은  $2.50 \times 10^{-2}$  units/mg protein으로서(Fig. 2) 위의 정제 과정을 거쳐 1,4-benzoquinone reductase는 약 123.8배 정제되었고 11.1%의 회수율을 나타내었다(Table 1). 이렇게 정제된 1,4-benzoquinone reductase를 disc polyacrylamide gel electrophoresis한 결과, 하나의 주 band로 나타났으며(Fig. 3), 정제된 1,

4-benzoquinone reductase의 물리화학적 성질을 측정하고 그 효용성을 평가하는 연구를 수행하고 있다.

#### IV. 결 론

Baker's Yeast로부터 fractional precipitation, anion exchange chromatography, gel filtration chromatography를 이용하여 1,4-benzoquinone reductase를 정제한 후, polyacrylamide gel electrophoresis를 시행하여 그 순도를 확인하였다.

1. ammonium sulfate fractionation, DEAE-Sephacel chromatography, Sephacryl S-200 chromatography 등의 정제과정에 의하여 1,4-benzoquinone reductase가 약 124배 정제되었고 11.1%의 회수율을 나타내었다.

2. 정제된 1,4-benzoquinone reductase를 사용하여 disc polyacrylamide gel electrophoresis를 시행한 결과 하나의 주 band가 나타났다.

#### 감 사

본 연구는 명지대학교 연구비 지원에 의해 수행되었으며 이에 감사드립니다.

#### 문 헌

- Rickert, D. E., Butterworth, B. E., and Popp, J. A., *Crit. Rev. Toxicol.*, 13, p. 217

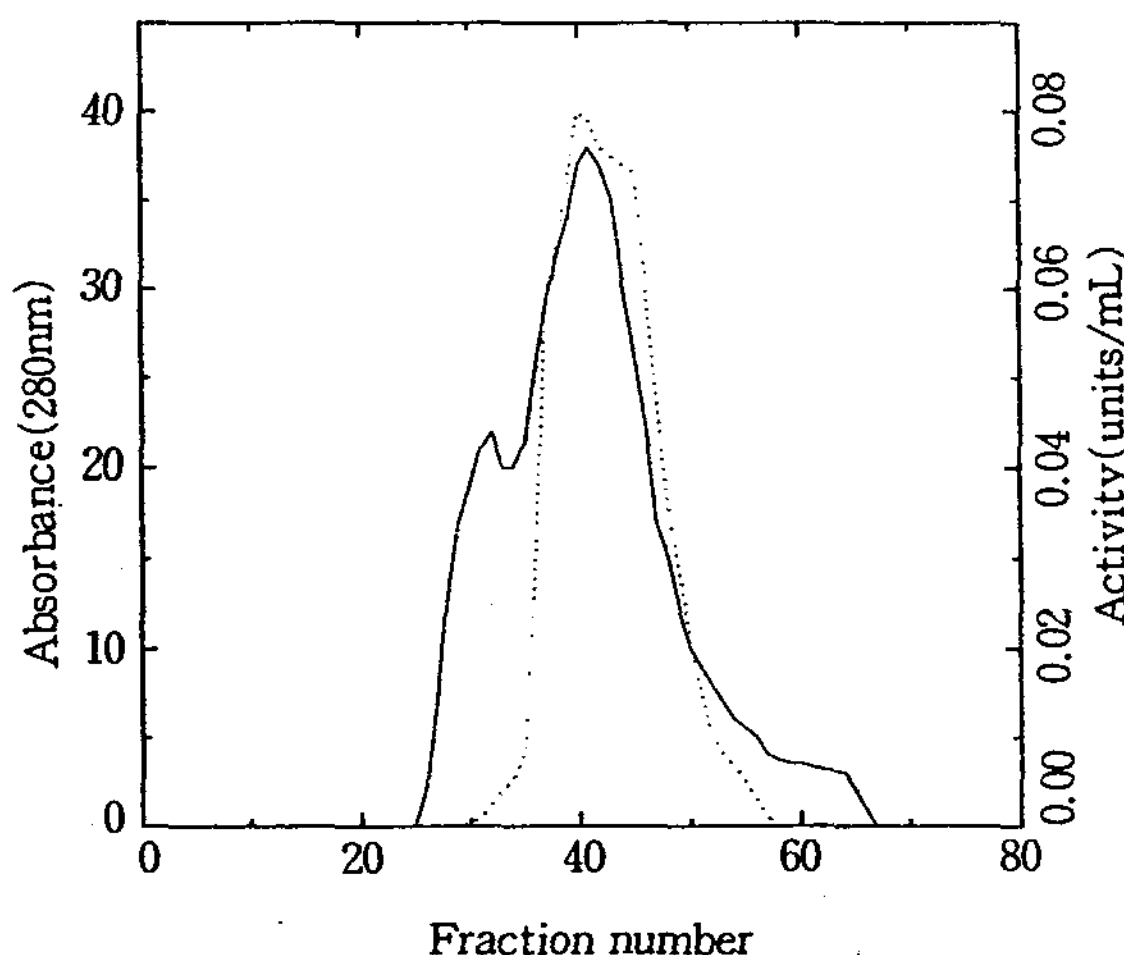


Fig. 3. Sephacryl S-200 gel filtration of pooled fractions containing 1,4-benzoquinone reductase activity from DEAE-Sephacel column.

Absorbance at 280nm(—) and 1,4-benzoquinone reductase activity(---) were measured.

- (1983).
2. Hansen, D. J., *Chem. Eng. News.*, 69, p. 7 (1991).
  3. Joshi, D. K., and Gold, M. H., *Appl. Environ. Microbiol.*, 59, p. 1779(1993).
  4. Glenn, J. K., Morgan, M. A., Mayfield, M. B., Kuwahara, M., and Gold, M. H., *Biochem. Biophys. Res. Commun.*, 114, p. 1077(1983).
  5. Kirk, T. K., and Farrell, R. L., *Annu. Rev. Microbiol.*, 41, p. 465(1987).
  6. Tien, M., and kirk, T. K., *Science*, 221, p. 661(1983).
  7. Tuor, U., Wariishi, H., Schoemaker, H. E., and Gold, M. H., *Biochemistry*, 31, p. 4986 (1992).
  8. Wariishi, H., Vau, K., and Gold, M. H., *Biochem. Biophys. Res. Commun.*, 176, p. 269 (1991).
  9. Rieble, S., Joshi, D. K., and Gold, M. H., *J. Bacteriol.*, 176, p. 4838(1994).
  10. Schmidt, H. W. H., Haemmerli, S. D., Schoemaker, H. E., and Leisola, M. S. A., *Biochemistry*, 28, p. 1776(1989).
  11. Wariishi, H., Valli, K., and Gold, M. H., *Biochemistry*, 28, p. 6017(1989).
  12. Constan, D., Muheim, A., Zimmermann, W., and Fiechter, A., *J. Gen. Microbiol.*, 137, p. 2209(1991).
  13. Chung, J. -H., Cha, Y. N. and Rubin, R. J., *Toxi. Appl. Phar.*, 124, p. 123(1994).
  14. MacDonald, M. J., *Endocrinology*, 129, p. 1370(1991).
  15. Bradford, M., *Anal. Biochem.*, 72, p. 248 (1976).
  - 16 Laemmli, U. K., *Nature*, 227, p. 680(1970).